

TEM: microscopie électronique à transmission

Aïcha Hessler-Wyser

Microscopie électronique: TEM

PV-Lab

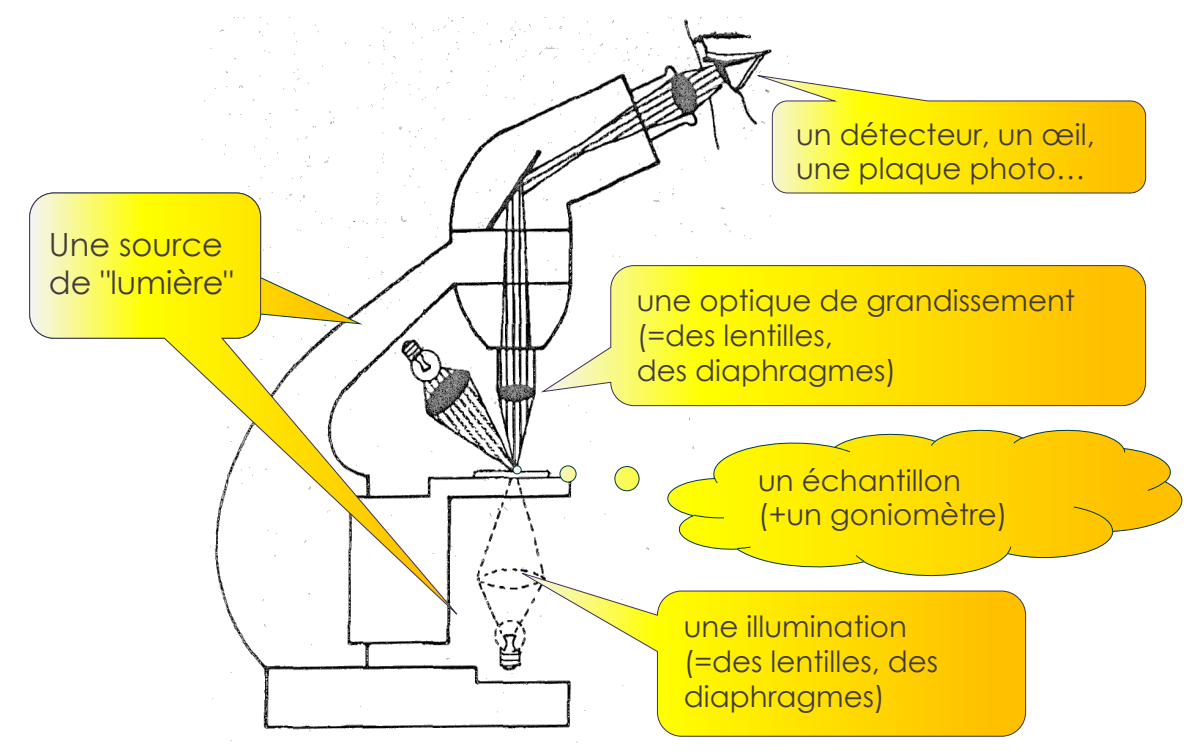
Sommaire

- Principes
- Interactions
- Diffraction dans un TEM
- Contrastes

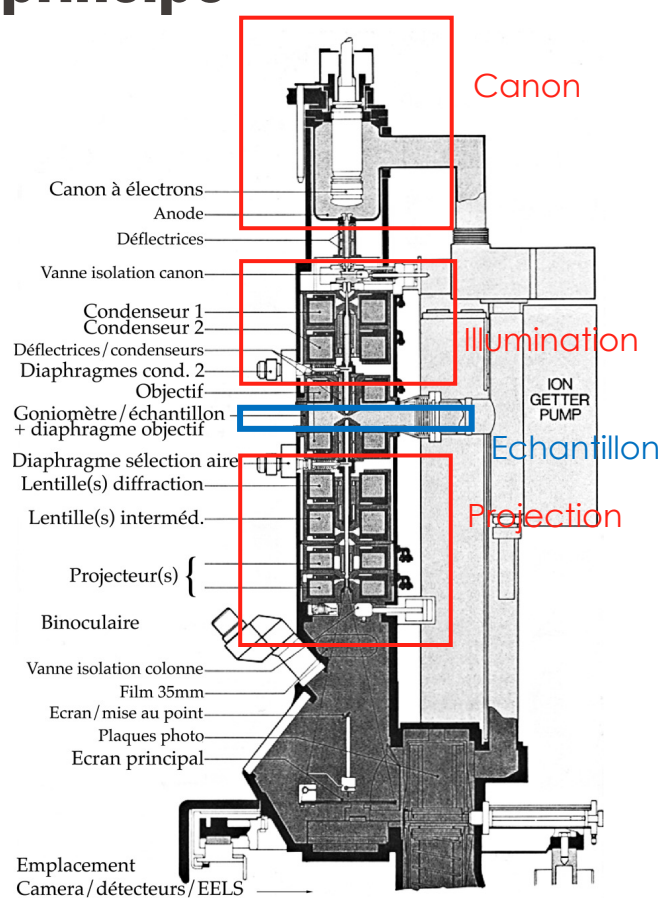
EPFL

TEM: microscopie électronique à transmission

Un microscope, c'est...



EPFL TEM: principe





TEM: principe

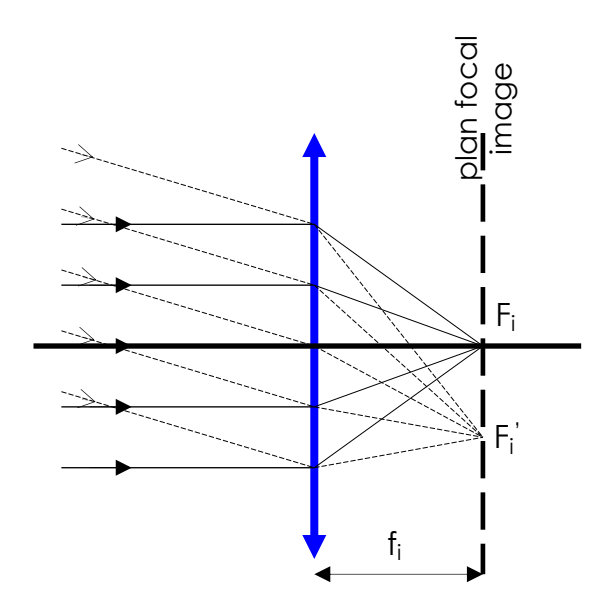
En fait, maintenant ça ressemble plutôt à ça...

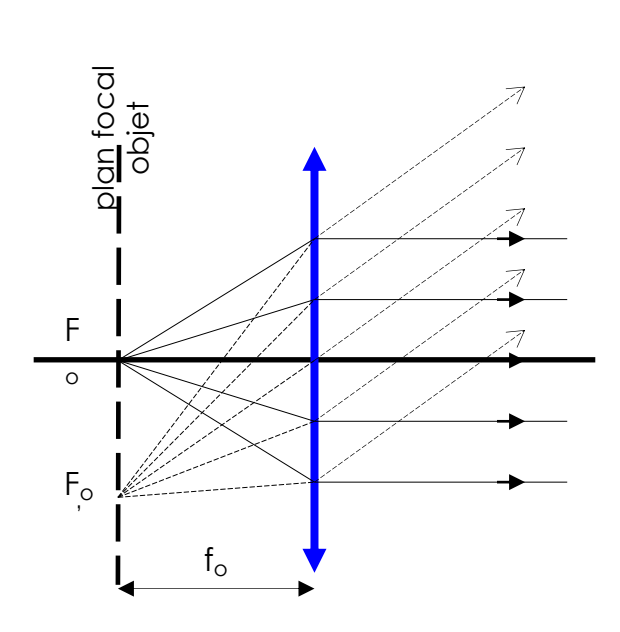




Lentille: principe général

- Optique géométrique
 - En première approximation: lentille mince (i.e. sans défauts)

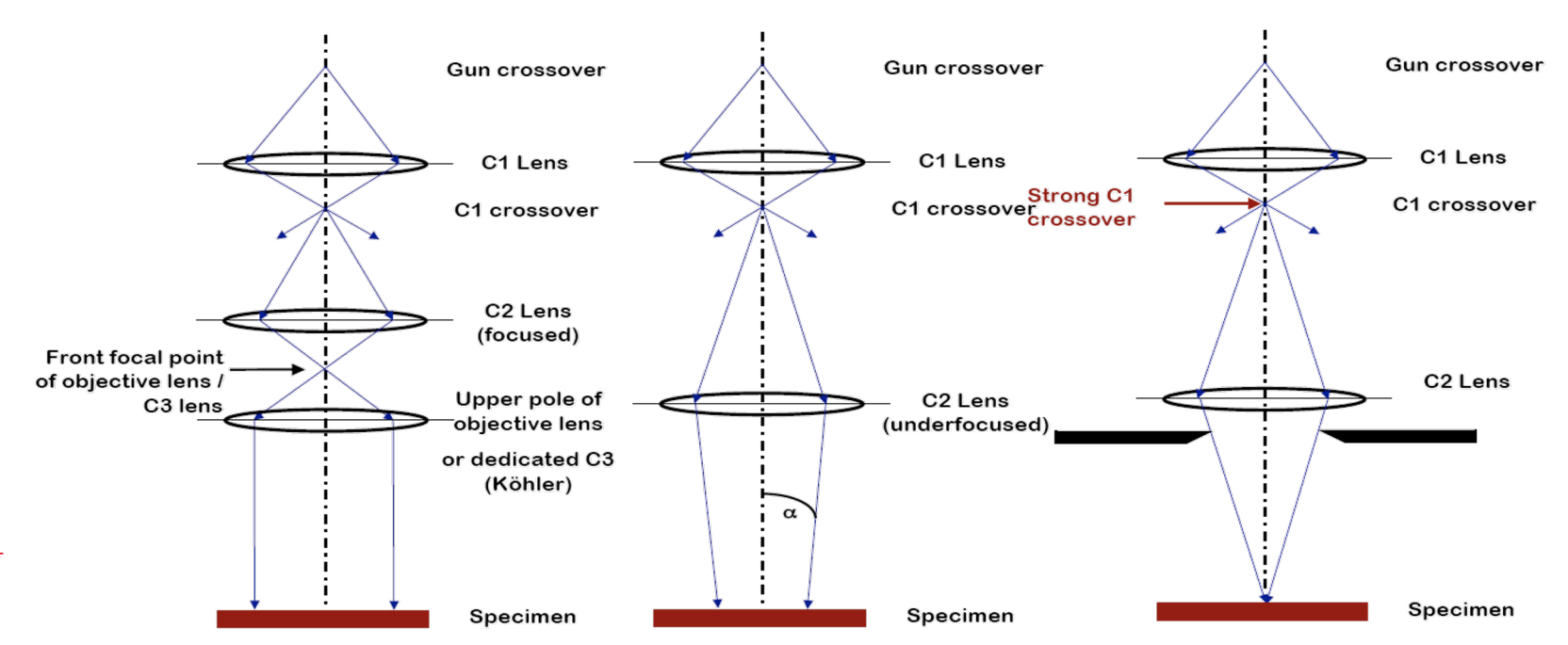




 Une image de la source placée au foyer objet F₀ du condenseur 2 produit une illumination parfaitement parallèle sur l'échantillon

Illumination: principe

Illumination parallèle ou convergente



Il faut une troisième lentille pour assurer une illumination parallèle

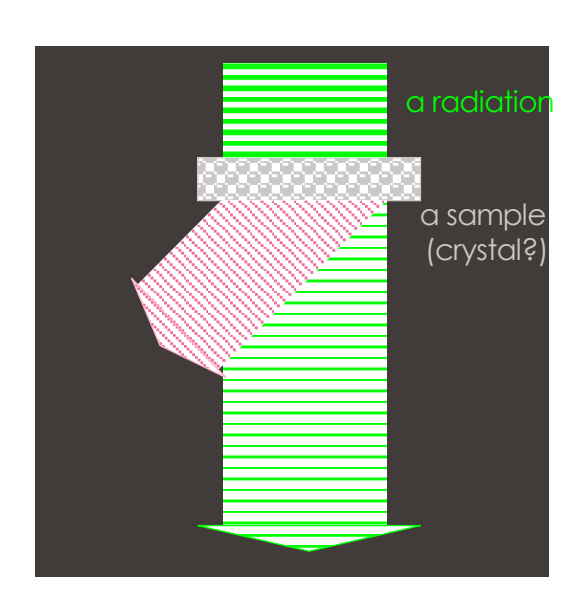
Microscopie électronique: TE

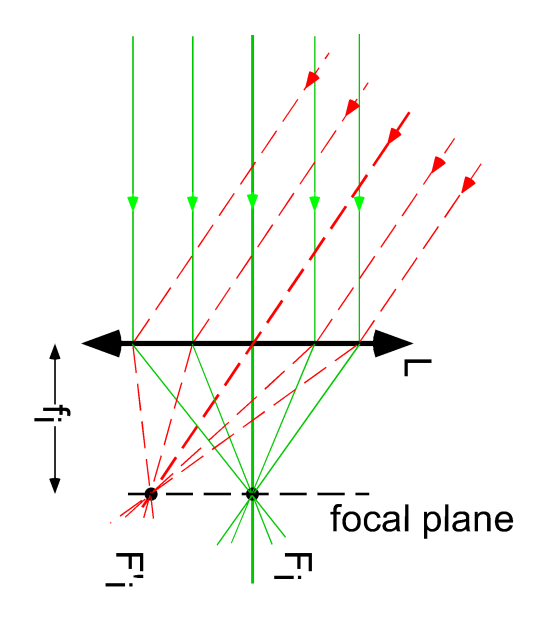
Interactions

• Electrons incidents sur un échantillon mince

Diffraction

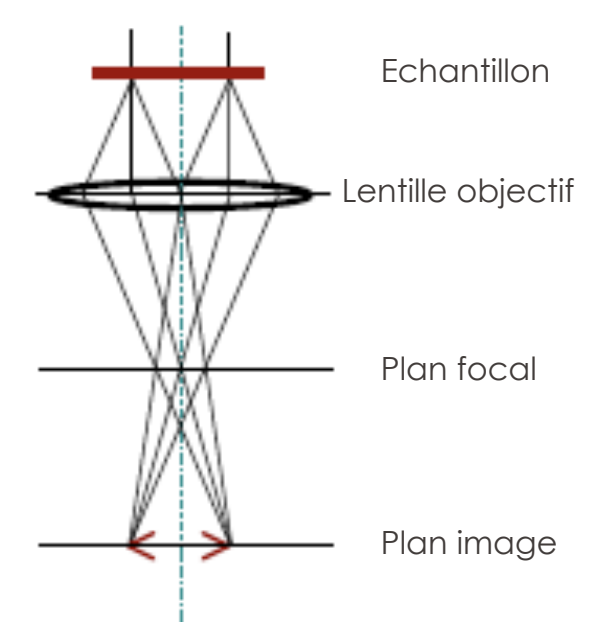
- Illumination parallèle
- Les électrons arrivant tous parallèlement sur la lentille objectif sont focalisés en un point: un spot transmis ou un spot diffracté

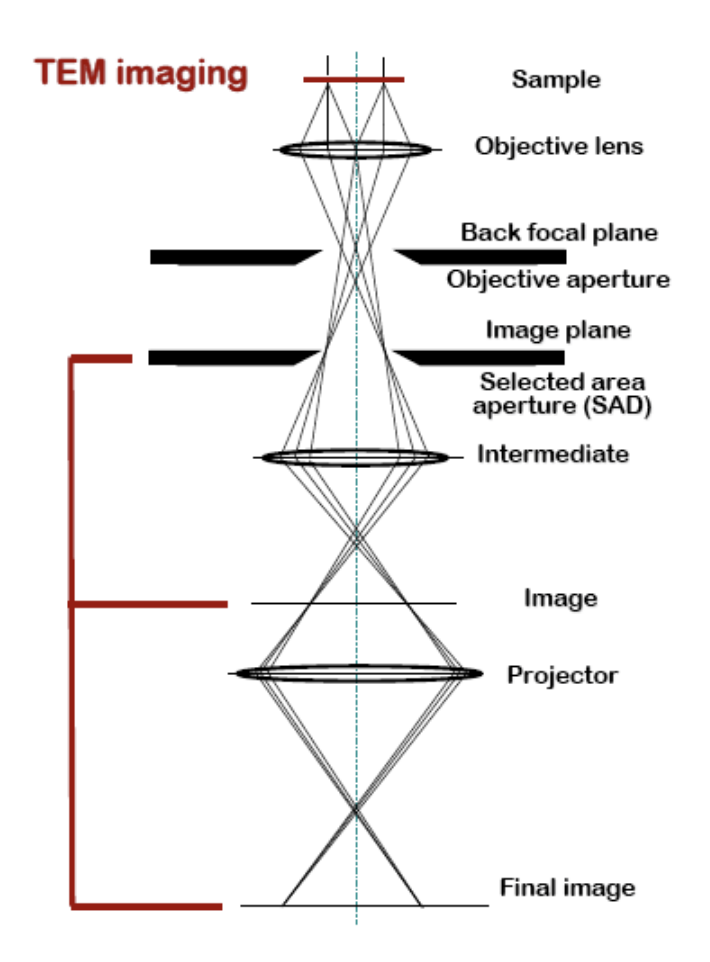




Diffraction

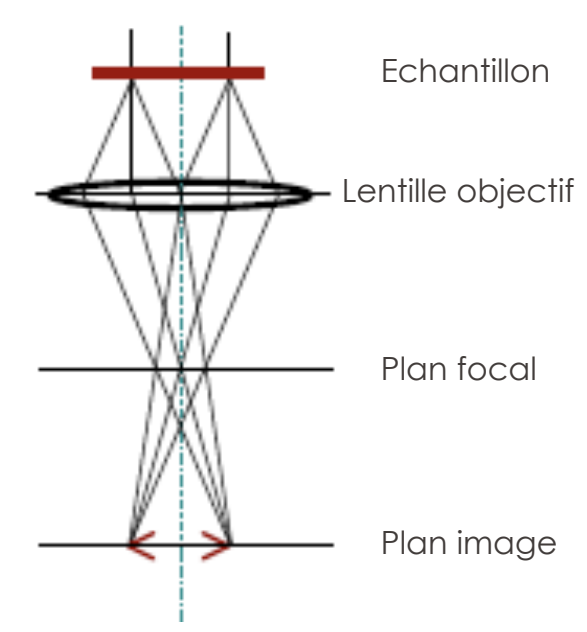
Mode imagerie

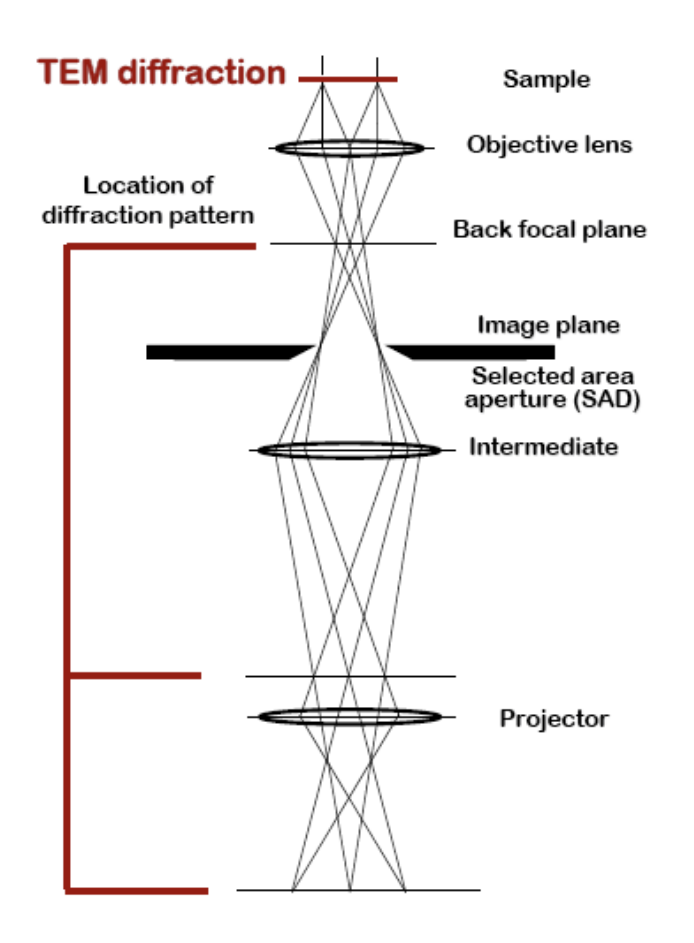




Diffraction

Mode diffraction





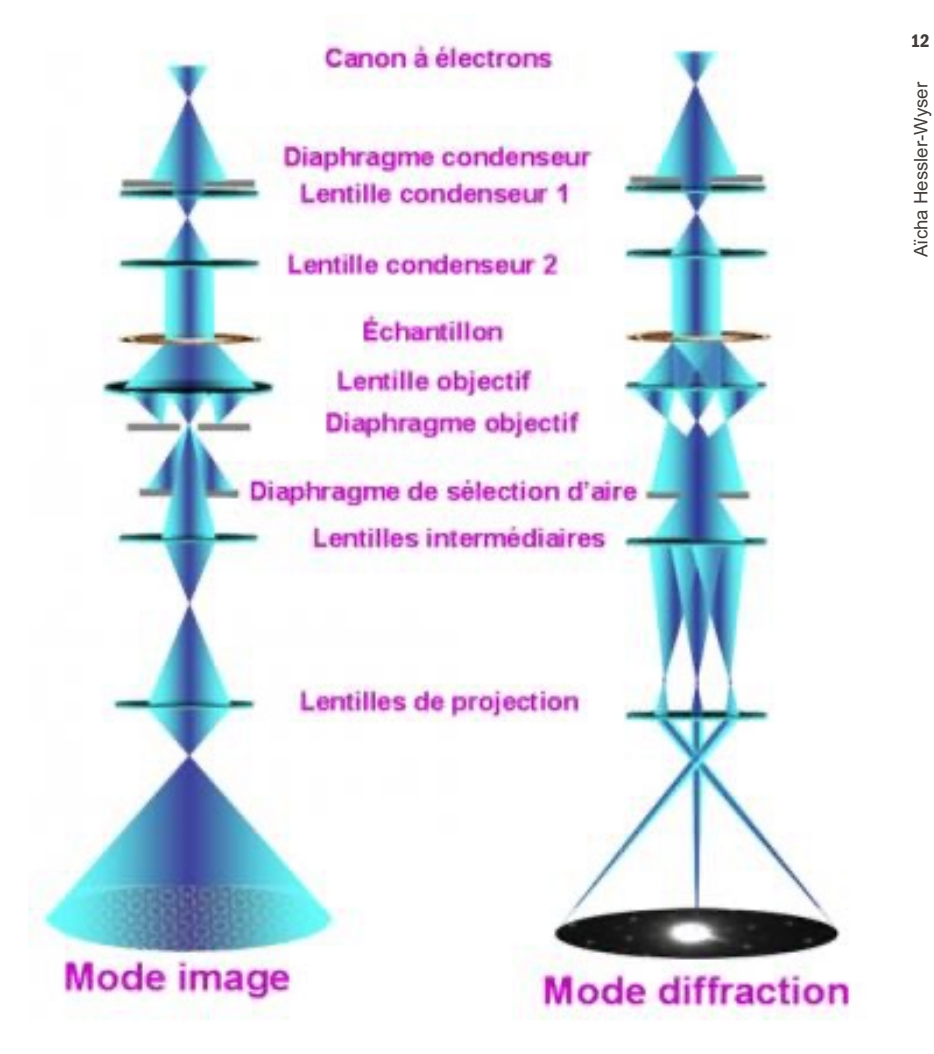
Diffraction

Modes diffraction

Corrélation entre le plan focal (première figure de diffraction formée) et l'écran

Mode imagerie

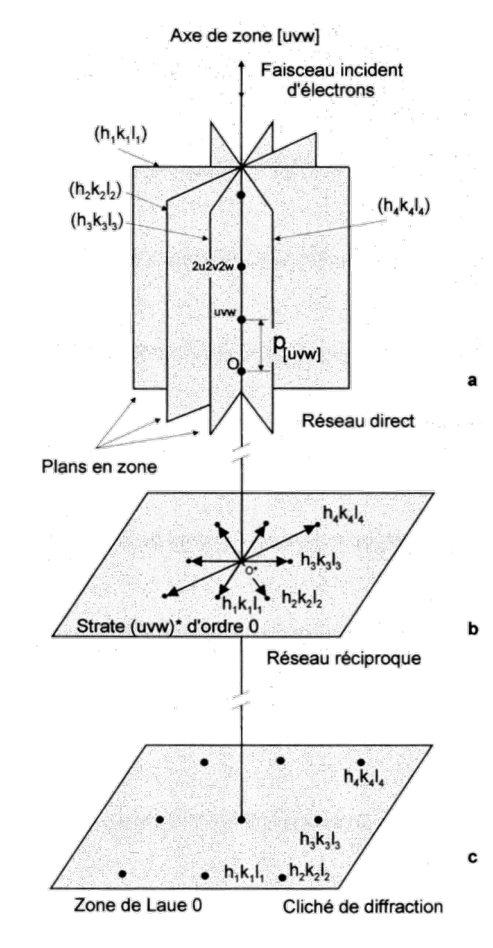
Corrélation entre le plan image (première image formée) et l'écran



Diffraction

Axe de zone

- Plusieurs plans cristallin sont en conditions de diffraction
- Chaque famille de plans génère un spot de diffraction
- Une famille de plans parallèles (distances multiples) génère une rangée systématique
- L'ensemble de ces rangées systématiques représente un réseau de points: la figure de diffraction



oicture from Morniroli

Axe de zone [uvw]

 $(h_1k_1l_1)$

 $(h_2k_2l_2)$

 $(h_3k_3l_3)$

Plans en zone

Strate (uvw)* d'ordre 0

Zone de Laue 0

Faisceau incident d'électrons

Puvwi

Réseau réciproque

 $h_4 k_4 l_4$

Cliché de diffraction

 $(h_4k_4l_4)$

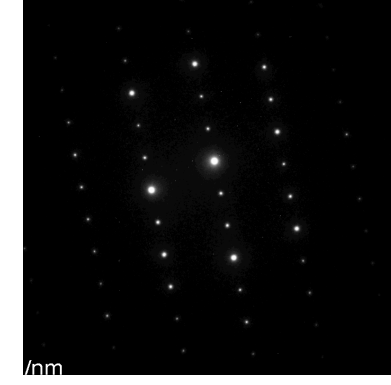
Diffraction

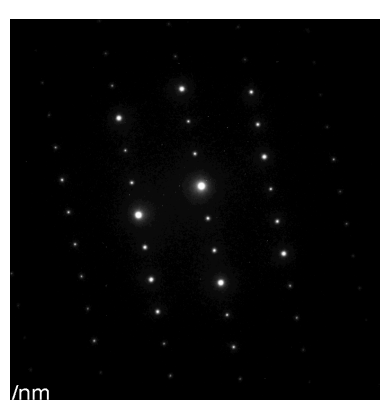
Axe de zone

Plusieurs plans (h_i k_i l_i) se croisent selon une direction [uvw] (axe de zone) du cristal.

Lorsque le faisceau d'électrons incidents traverse le cristal le long de [uvw], ces plans sont presque en condition de Bragg et une part d'intensité est malgré tout diffractée.

Ces plans satisfont l'équation d'axe de zone:









Diffraction: indexation

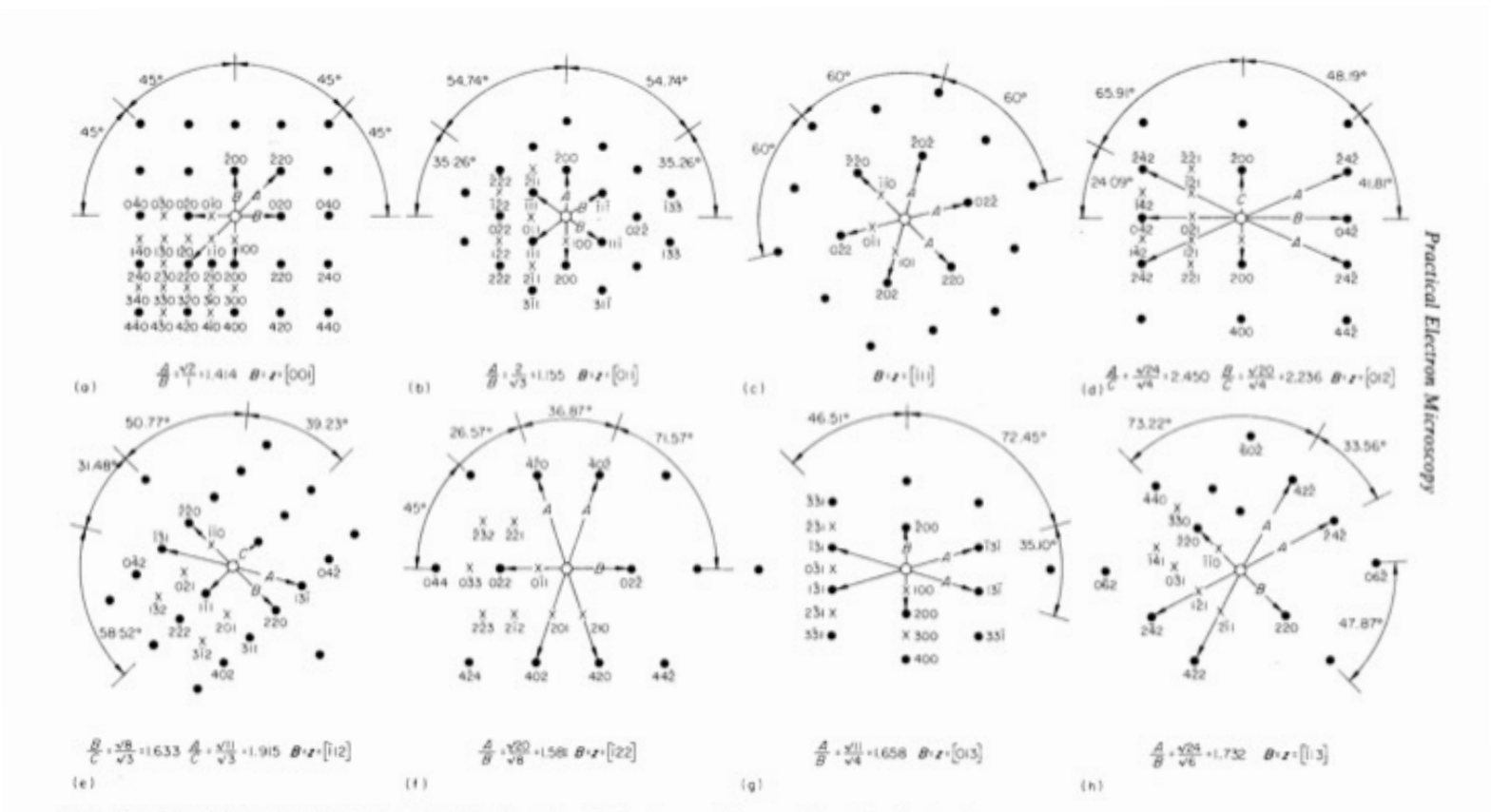
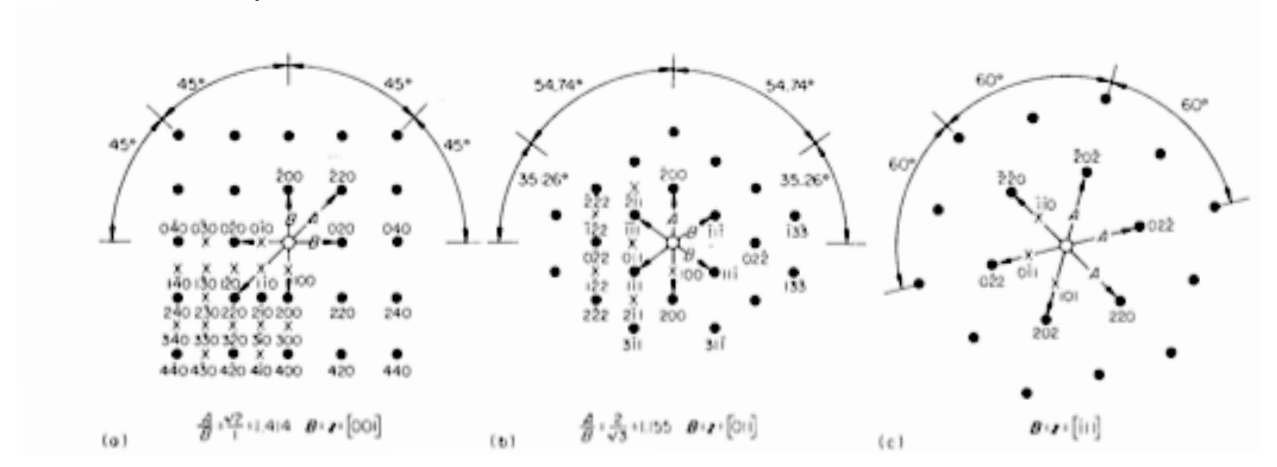


Figure A4.1 Single-crystal spot transmission electron diffraction patterns for the f.c.c. crystal structure ($u^2 + v^2 + w^2 < 22$). The zone axis z, defined in appendix 1, is the beam direction B defined in section 2.7.2, as indicated. The crosses in one quadrant of the diagram indicate the positions of the spots for the ordered f.c.c. (L1₂) unit cell. The complete pattern may be generated by repeating these spots in the remainder of the pattern and indexing using the addition of vectors, see section 2.7.2.1

Diffraction: indexation

Axe de zone

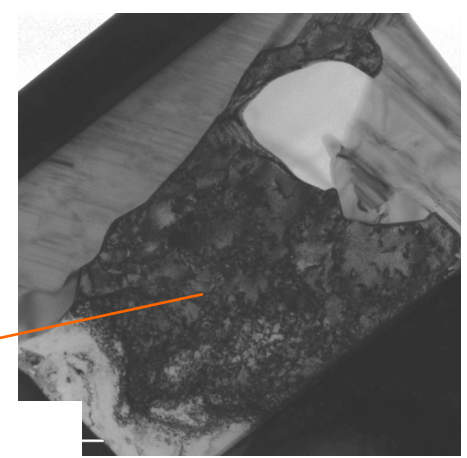
- Chaque spot de diffraction correspond à une famille de plans cristallins
- Clichés de diffraction typiques pour chaque orientation et réseau de Bravais
- La distance entre les points dépend du paramètre de maille, mais les rapports entre les distances sont constants
- Identification rapide manuelle ou informatisée



Diffraction: indexation

Indexation de figures de diffraction

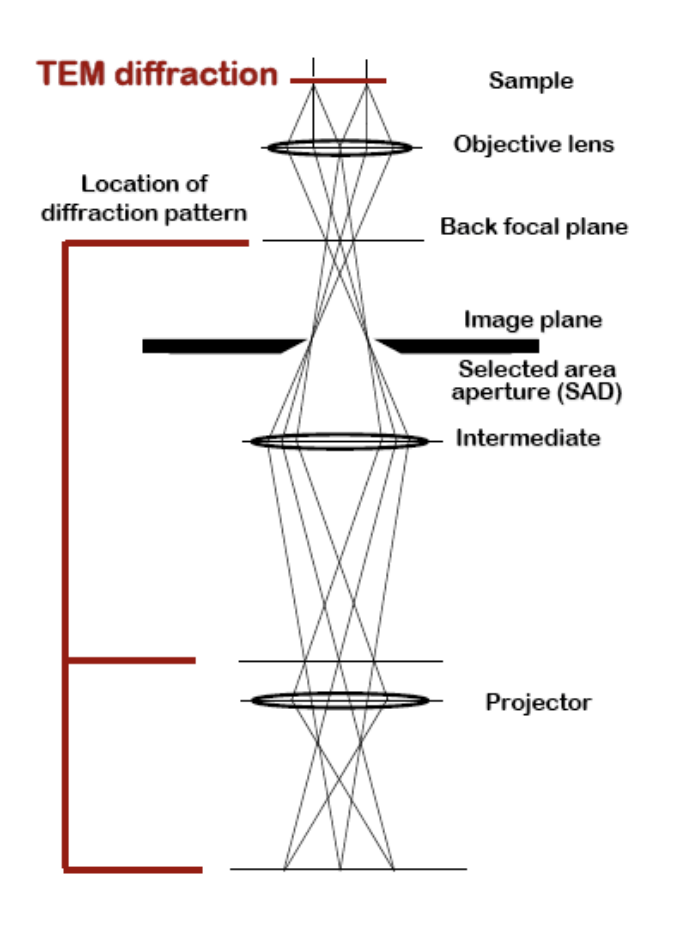
Simulations: programme JEMS (Prof Stadelmann). Il faut donner des cristaux candidats, le programme calcul les orientations possible et les compare au cliché expérimental



Diffraction

Longueur de caméra

- Normalement, les spots de diffraction convergent à l'infini.
- Les lentilles de projection nous permettent de ramener cet "infini" dans notre microscope:
- Le grandissement de la diffraction est représenté par la longueur de caméra CL



EPFL Diffraction

Longueur de caméra

Normalement, les spots de diffraction convergent à l'infini.

Les lentilles de projection nous permettent de ramener cet « infini » dans notre microscope:

Le grandissement de la diffraction est représenté par la longueur de caméra CL

$$tg(2\theta_{hkl}) = R/CL$$

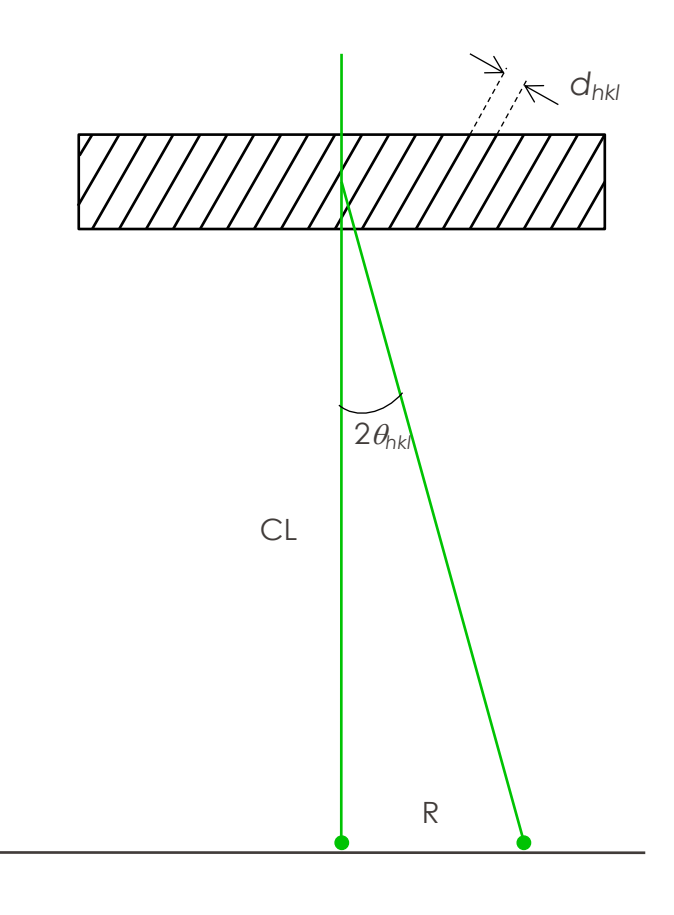
Pour de petits angles, $\theta \approx \sin \theta \approx \tan \theta$

Avec la loi de Bragg

$$2d_{hkl}\sin\theta_{hkl}=n\lambda$$

on arrive à:

 $d_{hkl}R = \lambda CL$ (=cte)



Diffraction

Identification de phases

 L'analyse des spots de diffraction nous donne la structure cristalline de l'échantillon

• Si le microscope est bien calibré, on peut obtenir la distance inter-réticulaire du cristal, et donc son paramètre de maille.

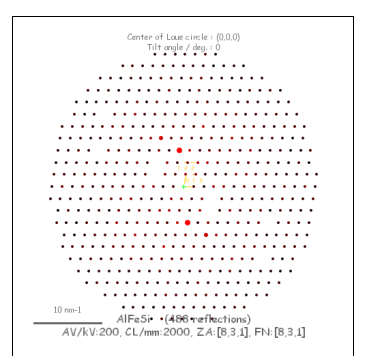
Diffraction

Identification de phases

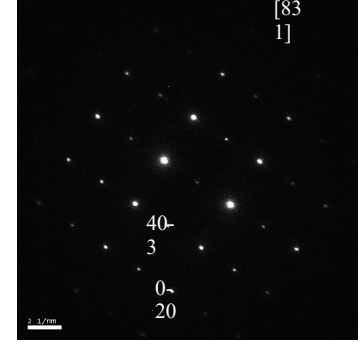


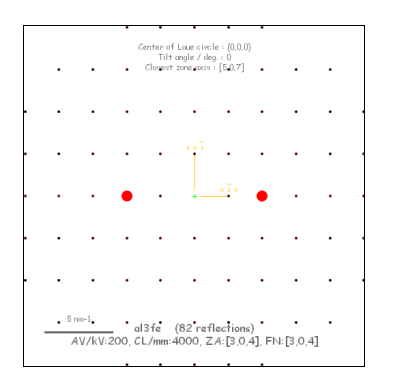
FIB lamella of ≈ 50 nm thickness, GJS600 treated Bright Field micrograph, 2750x (Philips CM20) Simulated diffraction on JEMS software





Hexagonal α -(AlFeSi)





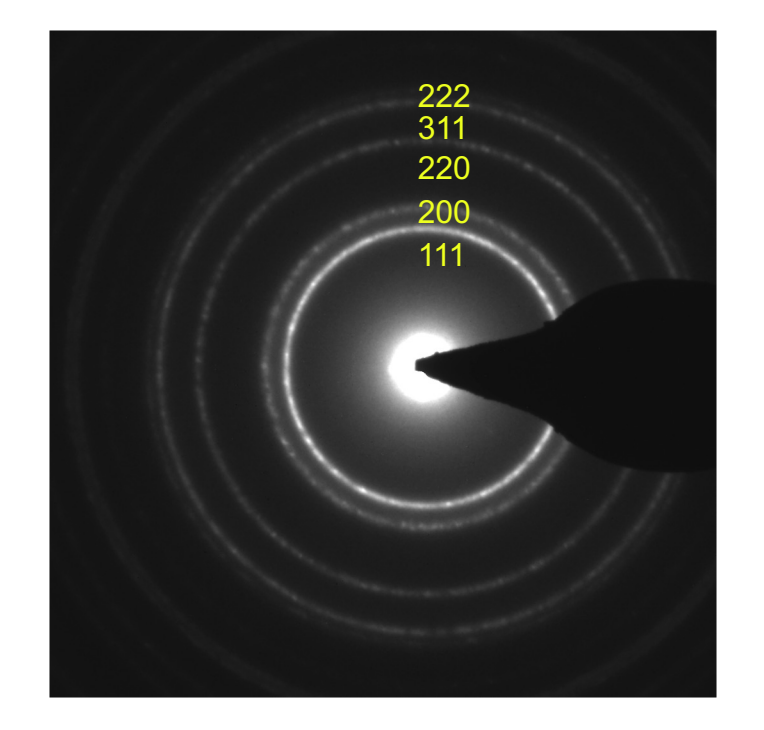
Monoclinic Al₃Fe

Diffraction

Diagramme de poudre

- Toutes les réflexions (i.e. tous les plans avec un facteur de structure non nul) sont présentes
- On parle de "ring pattern"
- Les relations angulaires entre les plans sont perdues



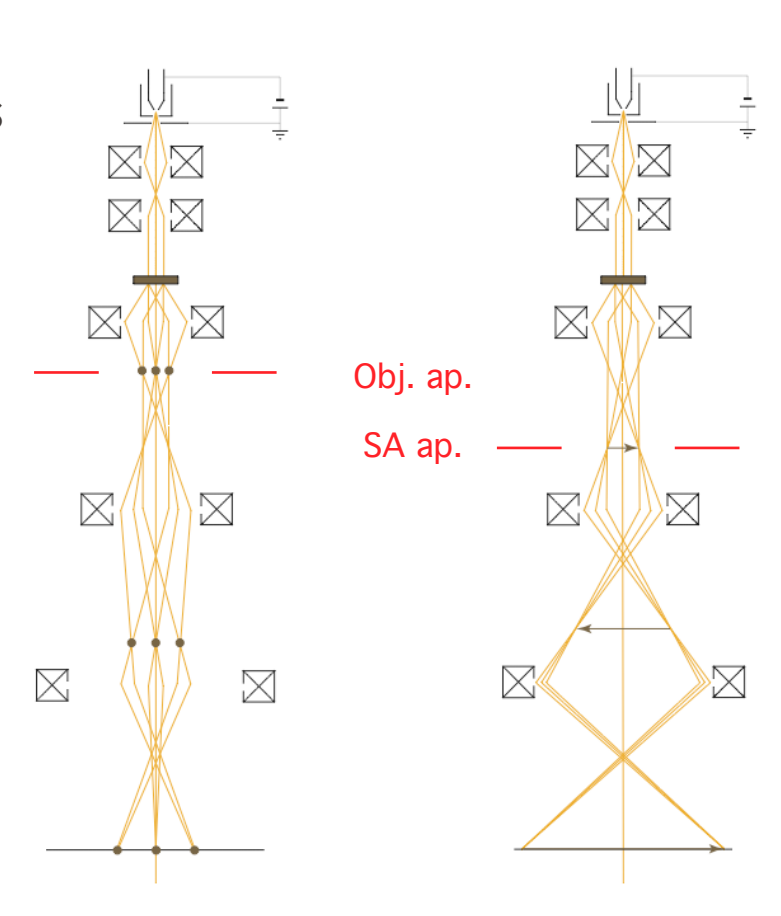


Contrastes

Différents contrastes pour différents modes

- Contraste d'épaisseur
- HAADF (D)STEM

- Contraste en Z
- Contraste de diffraction => BF et DF
- Contraste de phase => HRTEM



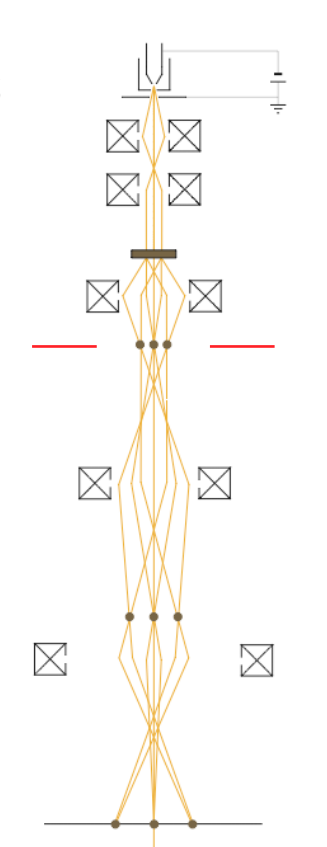
Différents contrastes pour différents modes

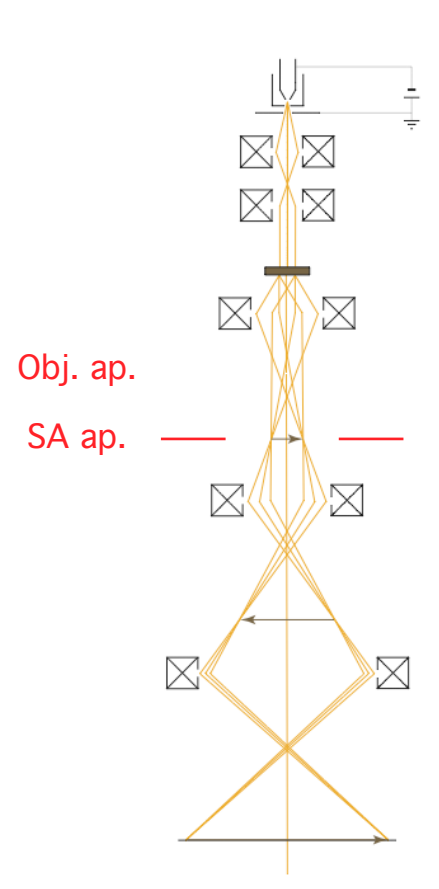
- Contraste d'épaisseur
- Contraste en Z

- HAADF (D)STEM
- Contraste de diffraction => BF et DF
- Contraste de phase => HRTEM

Position des diaphragmes objectifs et SA!!

- diaphragme objectif pour avoir une image contrastée
- diaphragme SA pour avoir une belle diffraction

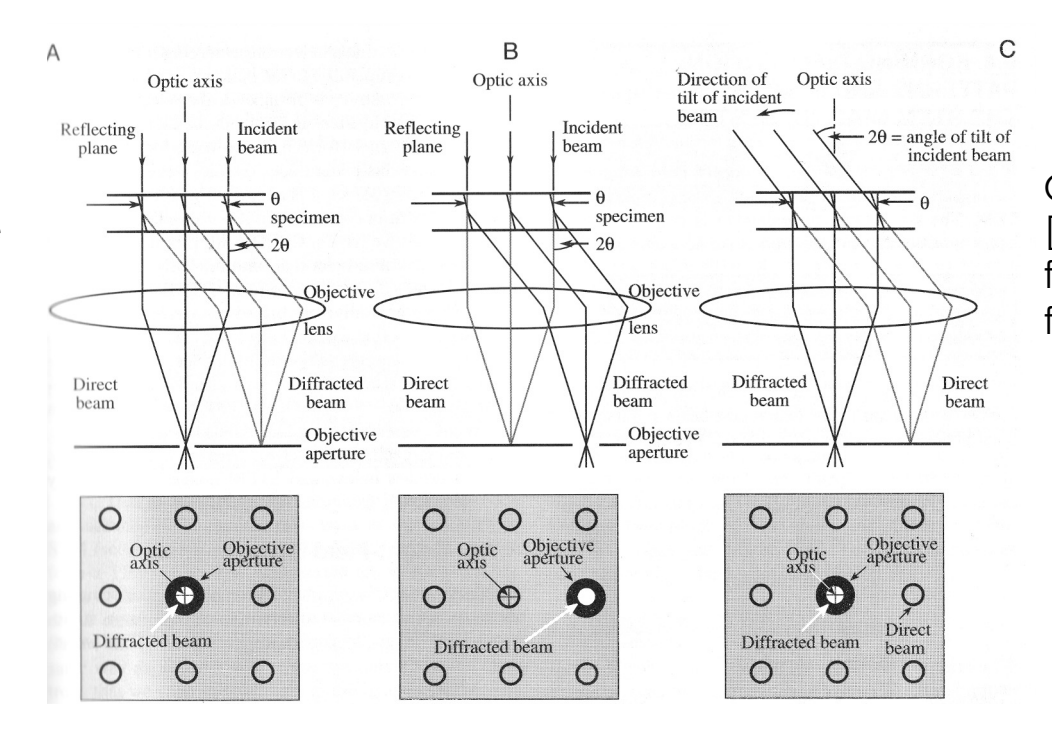




Contrastes

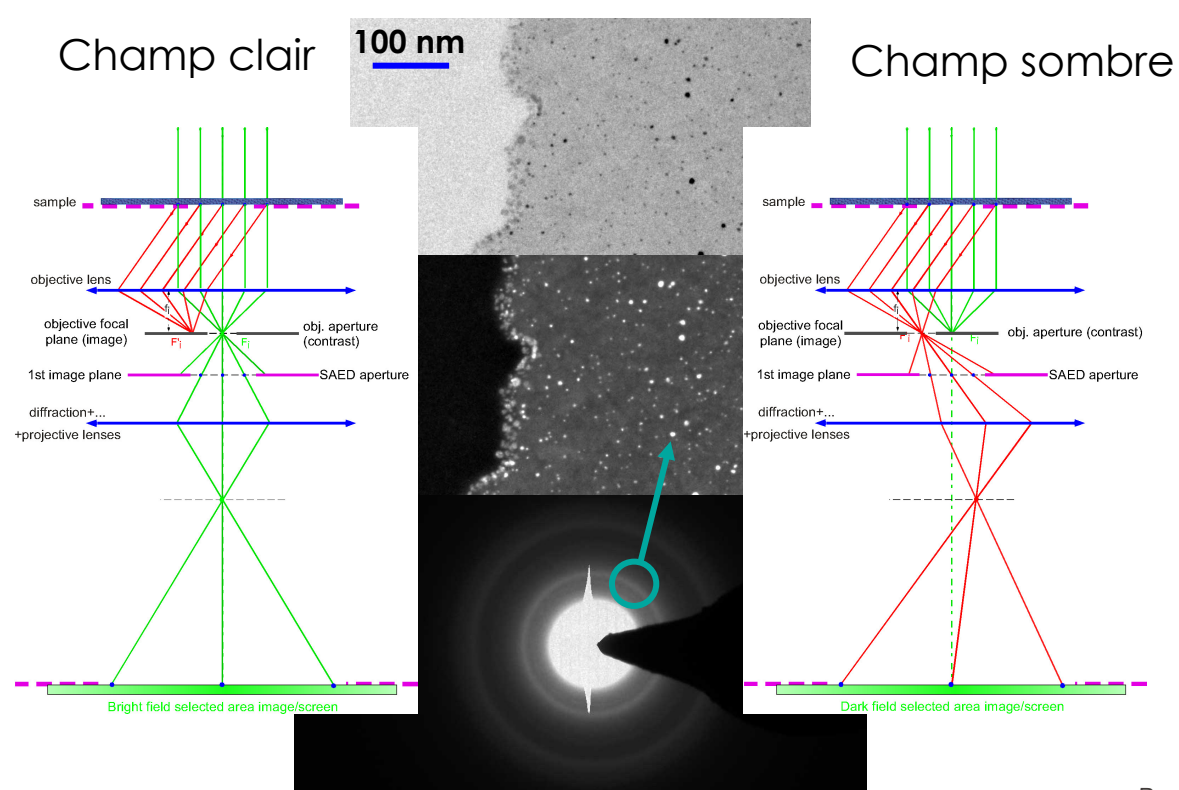
Mode image: Champ clair et champ sombre

Champ **clair** (BF): I'image est formée avec le faisceau transmis ϕ_0



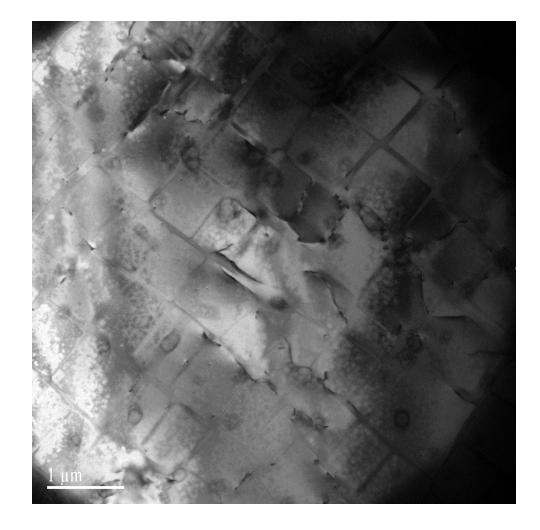
Champ **sombre** (DF [hkl]): l'image est formée avec le faisceau diffracté ϕ_{hkl}

Mode image: Champ clair et champ sombre



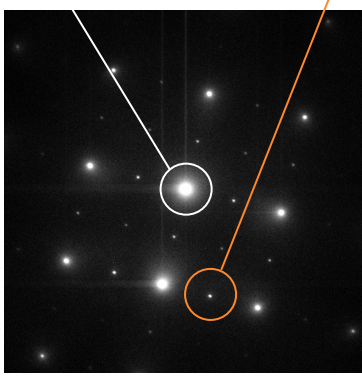
Nano-particules sur un film de carbone

Mode image: Champ clair et champ sombre



Superalliages à base de nickel

Contraste γ/γ'



Certaines réflexions sont interdites pour une structure cristalline, mais permises pour d'autres.



Mode image: Champ clair et champ sombre

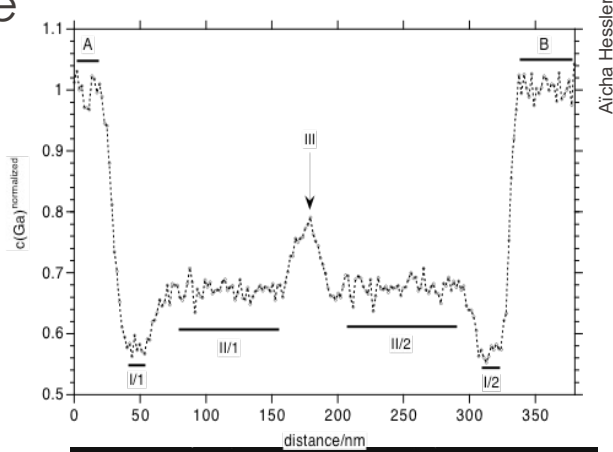
La diffraction sur un atome dépend de Z:

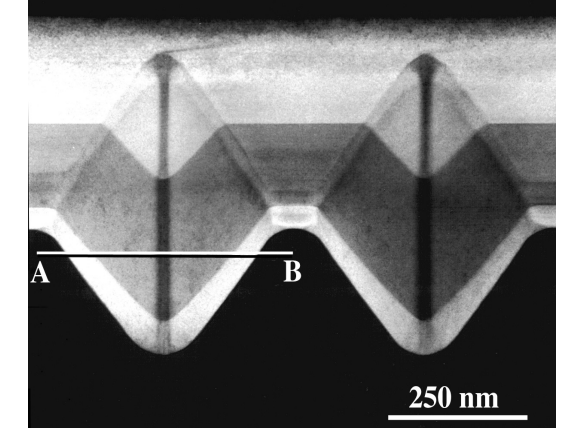
facteur de diffusion atomique $f(\theta)$

La diffraction sur un cristal s'exprime par le facteur de structure F_{hkl} qui dépend de l'arrangement cristallin, mais aussi de $f(\theta)$, et donc de Z

On peut donc voir une sorte de **contraste en Z** en choisissant les bons spots de diffraction

Diffusion d'espèces chimiques lors de croissance MOCVD de couches AlGaAs sur des substrats micro-structurés





Contrastes: calcul des intensités

Hypothèse: échantillon mince

- Avec les équations d'onde, on peut calculer les intensités des faisceaux diffractés et transmis I_g et I_o (conditions cinématique)
- On peut donc calculer le contraste d'une image en champ clair ou sombre.

$$I_g = \left| \phi_g \right|^2 \qquad \qquad I_0 = \left| \phi_0 \right|^2$$

Echantillon pas si mince que cela!

- Evénements **multiples** de diffraction, conditions dynamiques: les faisceaux diffractés et transmis interagissent entre eux. Le couplage est décrit par les équations de Howie-Wheelan:
- ($\phi_{\rm q}$: faisceau diffracté, $\phi_{\rm 0}$, faisceau transmis,
- ξ_g et ξ_0 les distances d'extinction correspondantes, z l'épaisseur)

$$\frac{\partial \phi_g}{\partial z} = \frac{\pi i}{\xi_0} \phi_g + \frac{\pi i}{\xi_g} \phi_0 \exp\left[-2\pi i s z\right]$$

$$\frac{\partial \phi_0}{\partial z} = \frac{\pi i}{\xi_0} \phi_0 + \frac{\pi i}{\xi_g} \phi_g \exp\left[2\pi i s z\right]$$

Contrastes: franges d'égales épaisseur

Si on résout les équations différentielles:

$$\left|\phi_{g}\right|^{2} = \left(\frac{\pi t}{\xi_{g}}\right)^{2} \frac{\sin^{2}(\pi s_{g} t)}{\left(\pi s_{g} t\right)^{2}} \qquad \left|\phi_{0}\right|^{2} = \left(1 - \left|\phi_{g}\right|^{2}\right)$$

avec la distance d'extinction:

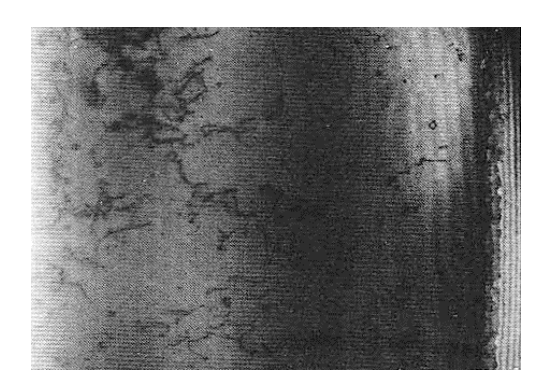
$$\xi_g = \frac{\pi V_e \cos \vartheta_B}{\lambda F_g}$$

(V_e : volume d'une maille élémentaire, F_g le facteur de structure pour la diffraction selon g)

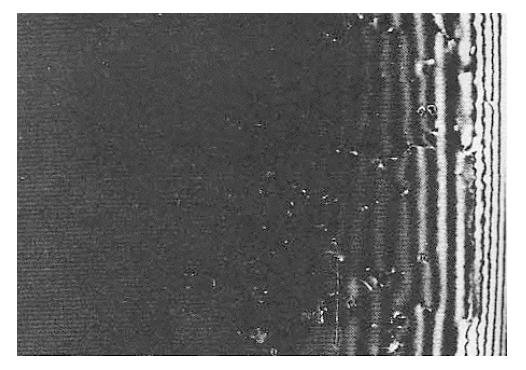
Note: pour pouvoir résoudre les équations, on ne considère que deux faisceau: le transmis et un diffracté, on parle alors de **condition deux ondes**.

Contrastes: franges d'égales épaisseur

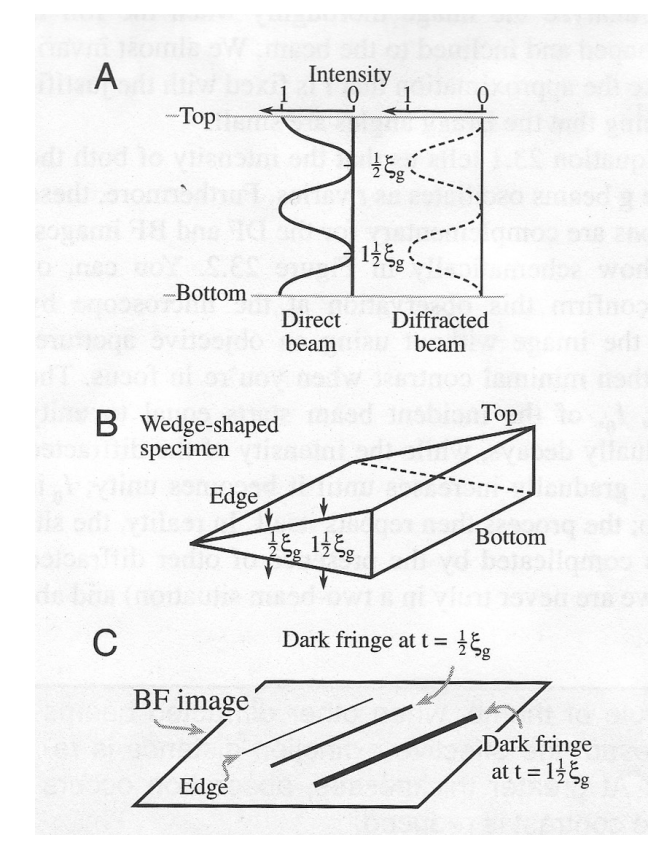
L'intensité des faisceaux diffractés et transmis varie donc périodiquement avec l'épaisseur t. Un échantillon d'épaisseur variable présentera donc des **franges** d'égale épaisseur, en champ clair comme en champ sombre



Champ clair



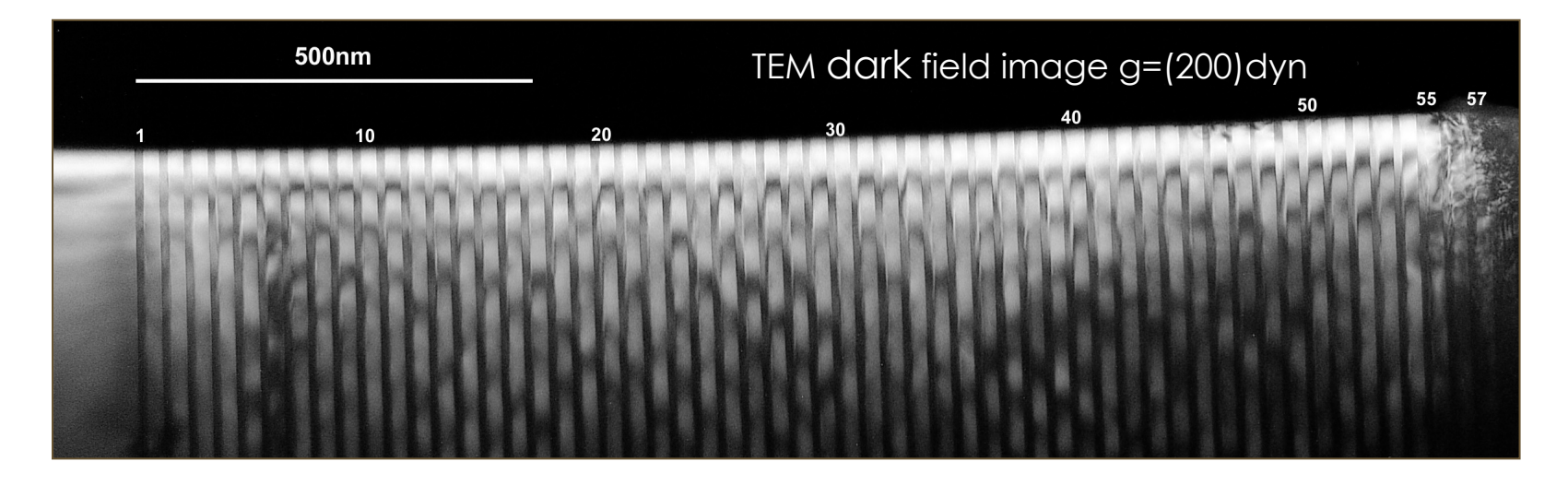
Champ sombre



Contrastes: épaisseur et composition

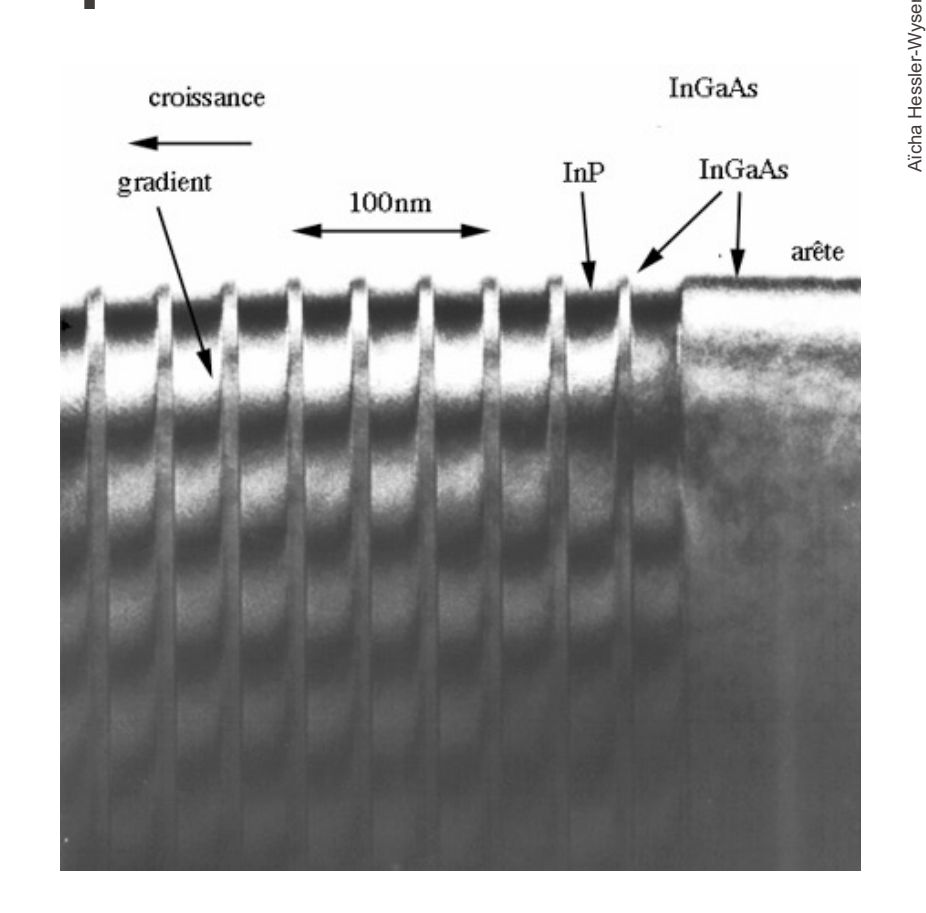
 ξ_g dépend de l'épaisseur, mais aussi du facteur de structure, et donc de la composition chimique!

 $\xi_g = \frac{\pi V_e \cos \vartheta_B}{\lambda F_g}$



Contrastes: épaisseur et composition

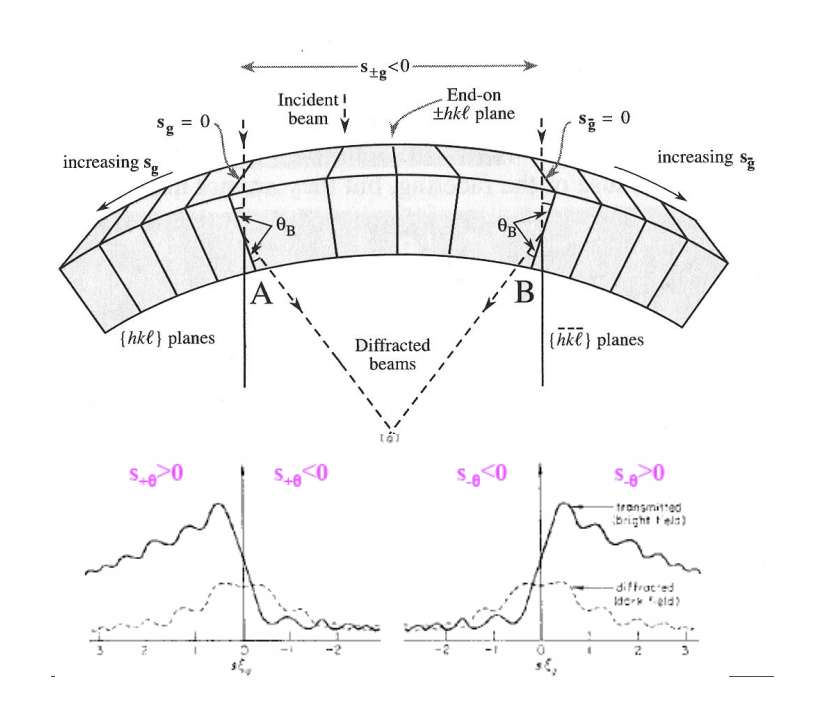
- Réseau de puits quantiques d'InP/GalnAs.
- Echantillon préparé par la méthode des coins clivés.
- La courbure des franges d'égale épaisseur montre bien un gradient de composition près des interfaces.



Contrastes: déformation

Echantillons déformés

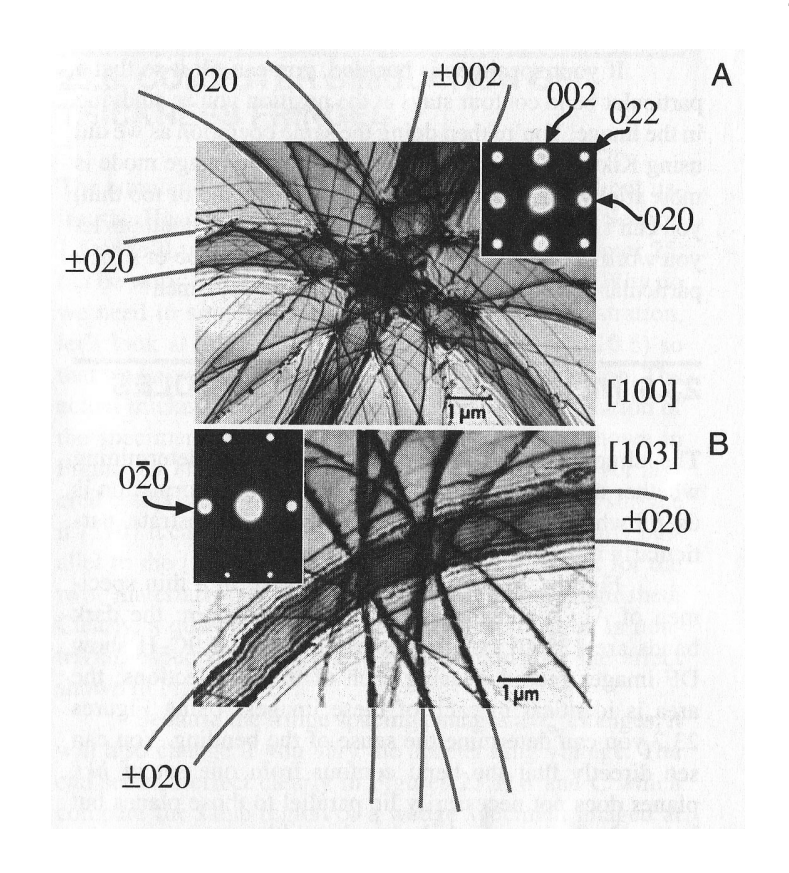
- Lorsqu'un échantillon est déformé, la diffraction n'est plus la même d'un endroit à l'autre.
- En champ clair ou en champ sombre, les régions qui diffractent apparaissent en sombre.
- On voit des lignes de contraste différent, les lignes de déformation (bend contour).



Contrastes: déformation

Echantillons déformés

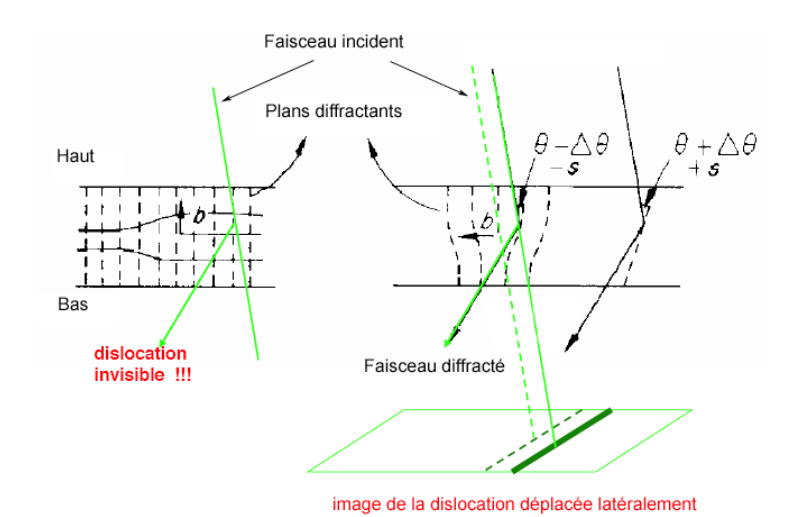
- Lorsqu'un échantillon est déformé, la diffraction n'est plus la même d'un endroit à l'autre.
- En champ clair ou en champ sombre, on voit des lignes de contraste différent, les lignes de déformation (bend contour).
- Chaque contour sombre est le lieu d'une famille de plan en position de Bragg. Les familles de lignes "parallèles" correspondent à +g, -g, et aux ordres supérieurs (±ng, n>1) de diffraction.

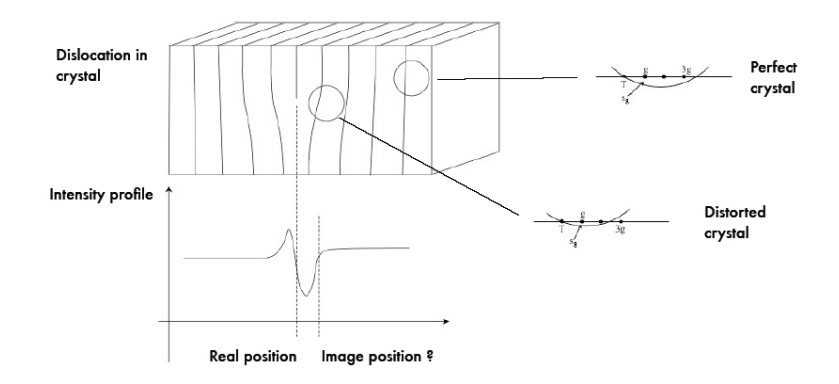


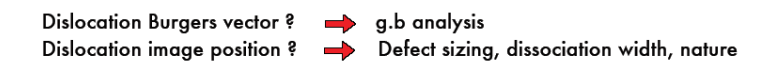
(tiré de J.V. Edington, Practical Electron Microscopy in Materials science)

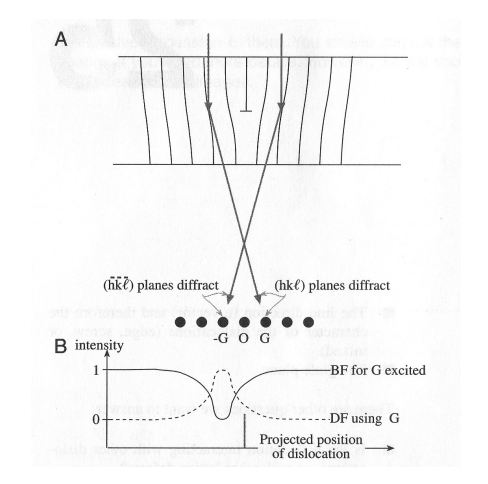
Contrastes: dislocations

Pourquoi voit-on une dislocation dans un TEM?









Contrastes: dislocations

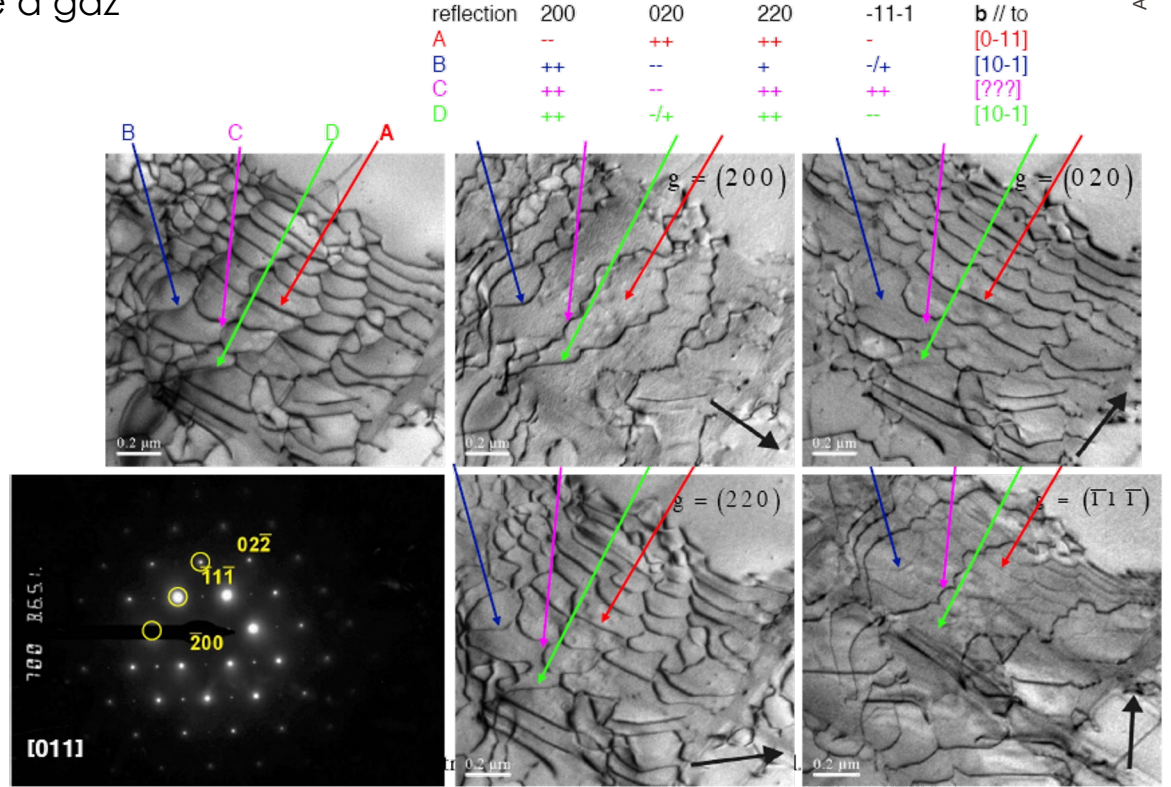
Identification des dislocations

Superalliages à base de nickel, partie d'une aube de turbine à gaz

Vecteur de Burger

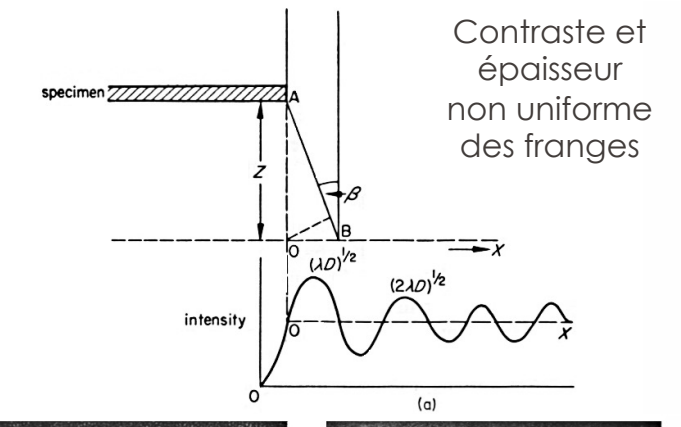
Recherche du **b** de 4 dislocations pour 4 **g** différents

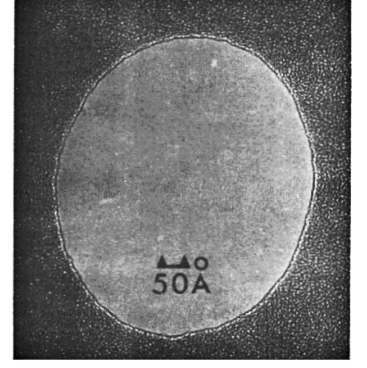
Si \mathbf{g} // \mathbf{b} , dislo visible Si $\mathbf{g} \perp \mathbf{b}$, dislo invisible



Contrastes: franges de Fresnel et astigmatisme

- Hypothèses: cohérence, λ < objet, objet plan, distance d'observation > plus grande dimension de l'objet
- Réglage de l'astigmatisme sur le bord du trou d'un film de carbone

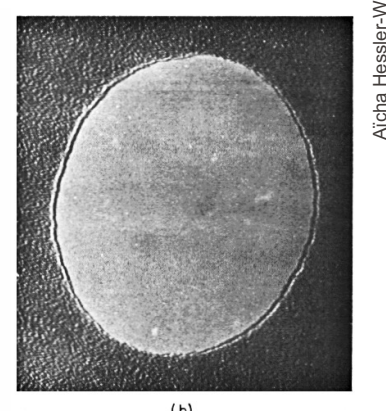


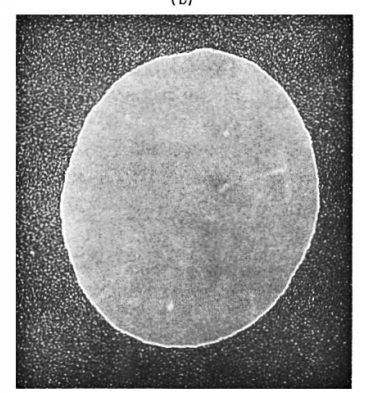






Pas de frange (min de contraste, focalisé)





Frange uniforme (sur-focalisé)

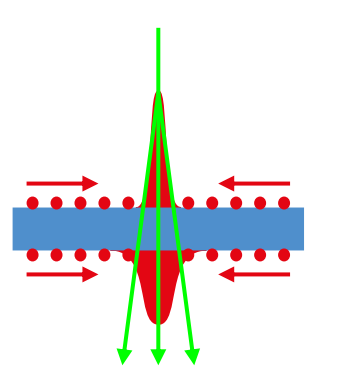
Contrastes: contamination

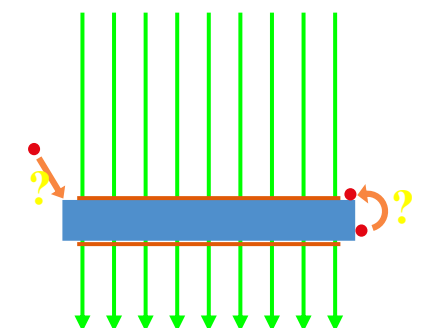
 Hydrocarbures (ou résidus d'huile silicone ou de graisses) présents à la surface de l'échantillon



 Gradient d'hydrocarbures, loi de Fick: diffusion de nouvelles molécules sous le faisceau, etc...

 Solution: nettoyage au plasma (Oxygène ou 25%O+75%Ar, faible énergie de plasma (~12eV)), **propreté de l'échantillon**, immersion de la plupart de l'échantillon sous un large faisceau, ou observation sous azote liquide.





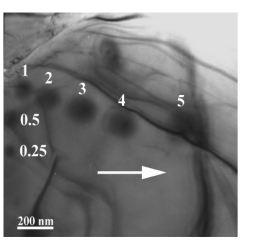


Contrastes: contamination

Solution: plasma cleaner

- Contamination pour t variable
- Imagerie et analyse X après une minute de nettoyage par plasma, et après 5 minutes

 Après 5 minutes, le carbone a presque totalement disparu



1 304 stainless steel specimen after 1 minute of plasma cleaning.

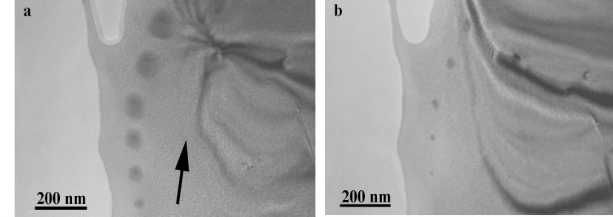


Fig. 2 SrTiO₂ bicrystal specimen after a)1 minute and b)5 minutes of plasma cleaning

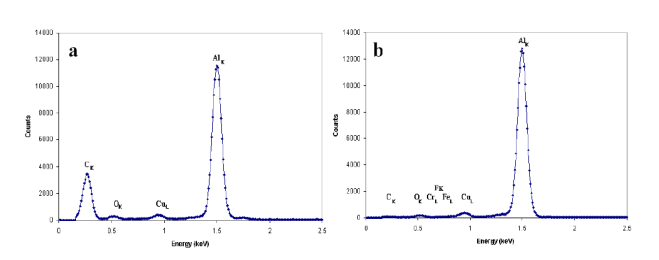
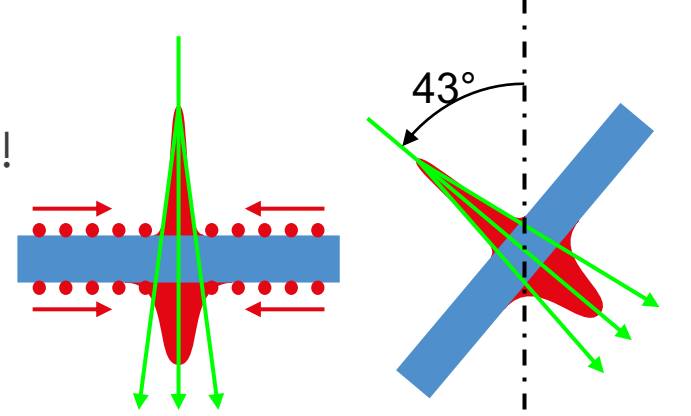


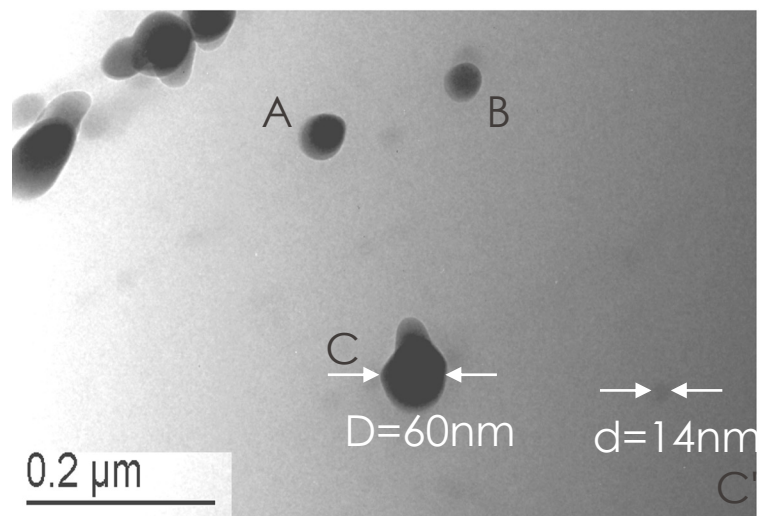
Fig. 3 EDS spectra of a Cu-Al alloy a)before and b) after 1 minute of plasma cleaning.

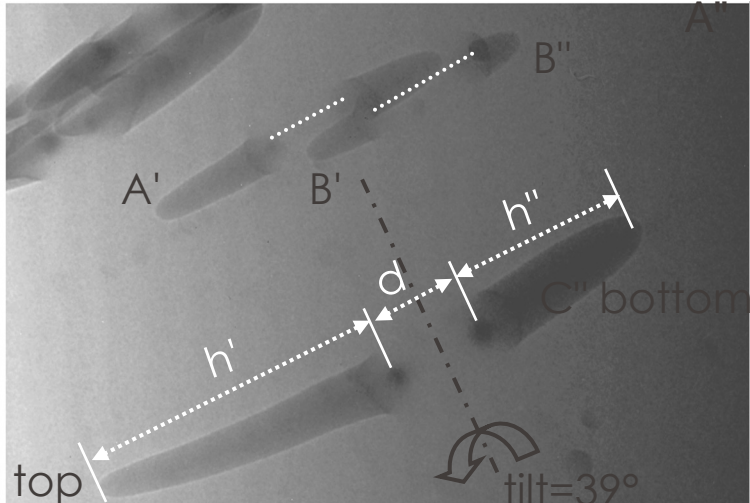
Contrastes: contamination

La contamination peut parfois être utile!

Mesure d'épaisseur d'un échantillon TEM, très localement (p.ex. après une mesure EDS)







EPFL

Ce qu'il faut retenir...

- Principe: illumination, interaction avec l'échantillon, projection
- Mode diffraction ou image
- Diagramme de diffraction, axe de zone, indexion (identification de phase)
- Diaphragmes et plans focaux de la lentille objectif
- Champ clair ou champ sombre (BF DF)
- Explication du contraste d'une image
- Franges d'égale épaisseur
- Franges de Fresnel
- Déformation

